

Санкт-Петербургский государственный университет  
Факультет Прикладной математики - процессов управления  
Кафедра ТСУЭФА

**Саакян Аветик Темиевич**

Магистерская диссертация

**Моделирование периодической системы  
лезвийных катодов**

Руководитель образовательной программы,

доктор физ.-мат. наук,

профессор

Овсянников Д.А.

Научный руководитель,

доктор физ.-мат. наук,

профессор

Виноградова Е.М.

Санкт-Петербург

2019

# Оглавление

Введение . . . . .	3
Глава 1. Моделирование одиночной диодной системы с полевым эмиттером лезвийной формы . . . . .	6
● 1.1 Физическая модель диодной системы с полевым эмиттером лезвийной формы . . . . .	6
● 1.2 Математическая модель диодной системы с полевым эмиттером лезвийной формы . . . . .	8
● 1.3 Решение граничной задачи для нахождения распределения потенциала . . . . .	9
● 1.4 Вывод СЛАУ . . . . .	12
Глава 2. Моделирование периодической системы эмиттеров лезвийной формы . . . . .	17
● 2.1 Физическая модель диодной периодической системы с лезвийным катодом . . . . .	17
● 2.2 Математическая модель диодной периодической системы с лезвийным катодом . . . . .	20
● 2.3 Решение граничной задачи для нахождения распределения потенциала . . . . .	21

• 2.4 Вывод СЛАУ . . . . .	23
----------------------------	----

Глава 3. Численные расчеты периодической системы эмиттеров лезвийной формы . . . . .	31
--	----

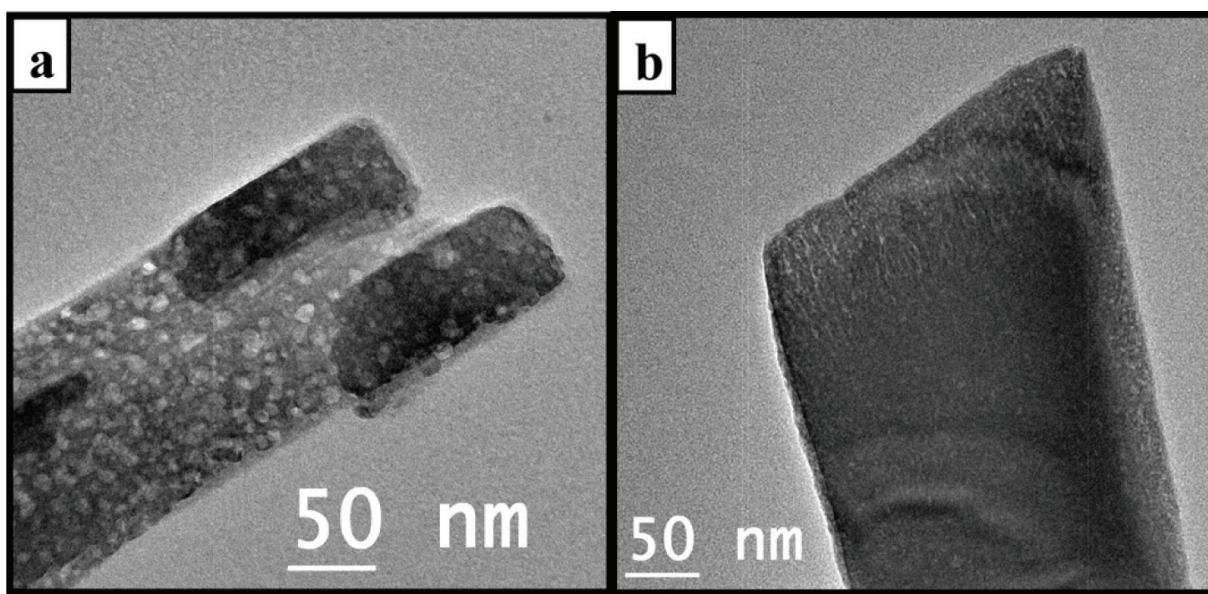
Заключение . . . . .	38
----------------------	----

Список литературы . . . . .	40
-----------------------------	----

## Введение

Данная магистерская диссертация посвящена вычислению распределения электростатического потенциала диодной эмиссионной периодической системы с лезвийными катодами.

Принцип действия эмиттеров основанных на явлении полевой электронной эмиссии, имеют уникальные свойства [1-17].



Лезвийный эмиттер [18]

Интерес к вакуумной нано- и микроэлектронной оптике, в настоящее время, значительно вырос. Их основой являются процессы формирования, транспортировки и фокусировки пучков заряженных частиц электрическими и магнитными полями [1].

Впервые, в 1897 г., полевая эмиссия была обнаружена Р. У. Вудом. Позднее (1928 – 1929 г.) Л. Нордхейм и Р. Фаулер

на основе туннельного эффекта [3] дали теоритическое объяснение полевой электронной эмиссии, также ими была получена формула, описывающая взаимосвязь плотности автоэлектронного тока  $j$  с напряженностью электрического поля  $E$ .

В первую очередь, полевая электронная эмиссия является источником электронов применяемых в электронных микроскопах, плоских дисплеях, используется для большого круга устройств и приборов. Он перспективен в рентгеновской и обычной электронной микроскопии, в рентгеновской дефектоскопии, в рентгеновских микроанализаторах и электронно-лучевых приборах. Полевые эмиттеры могут также употребляться в микроэлектронных устройствах и в чувствительных индикаторах изменения напряжения. Металлические полевые эмиттеры используются, когда требуется высокая плотность тока, то есть там, где необходимы большие токи, либо концентрированные электронные пучки [3].

Электронно-вакуумные устройства на основе полевой эмиссии применяются во многих сферах научных исследований [13 - 15], в создании новых более высокоточных приборов и, так же, в технологии производства экономически выгодных устройств микро- и нано электроники. Главным преимуще-

ством таких устройств являются их малые геометрические размеры, монохроматические пучки, малые затраты мощности для эффективной работы. Также, полевые эмиссионные устройства используются в том числе и в световых индикаторах, плоских дисплеях и лампах. Полевой катод, состоящий из различных углеродных материалов, может являться источником электронов.

Получить небольшие значения эмиссионного тока позволяют, как правило, одиночные полевые острия. Увеличивая площадь эмиссии и используя в качестве полевого катода многослойную систему или эмиттер лезвийной формы с острым краем, можно увеличить полный ток в системе.

# Глава 1. Моделирование одиночной диодной системы с полевым эмиттером лезвийной формы

В данной главе решается предварительная задача о распределении поля в диодной системе с одиночным катодом лезвийной формы. (Рис. 1).

## 1.1. Физическая модель диодной системы с полевым эммитером лезвийной формы

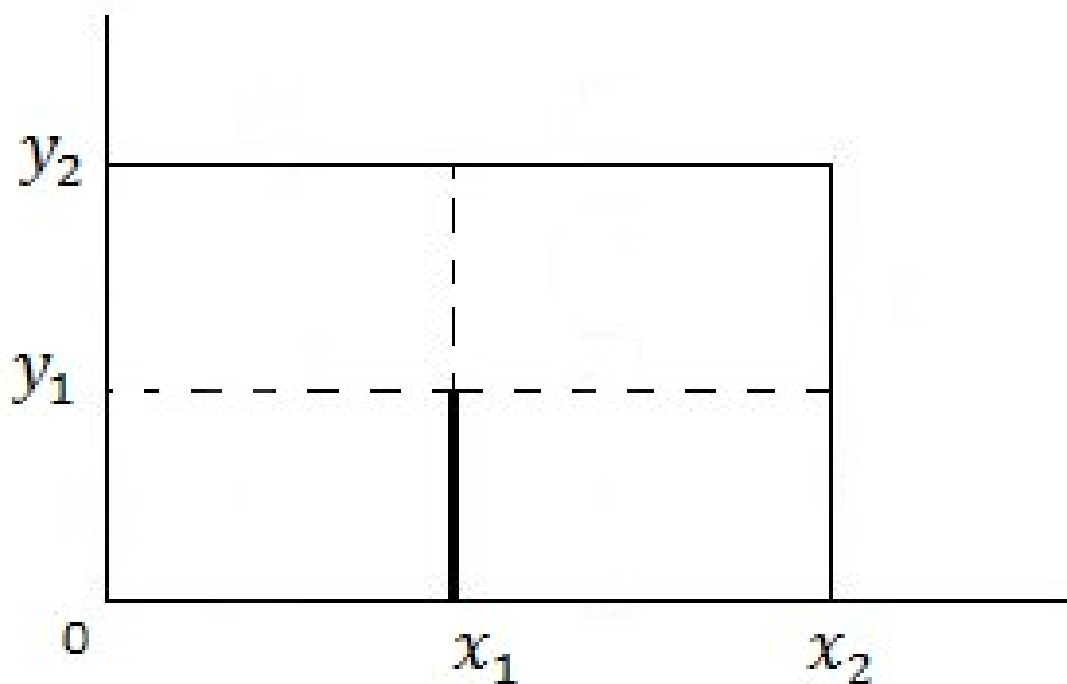


Рис. 1 Схематическое изображение диодной системы с полевым  
эммитером лезвийной формы

Катод расположен на плоской подложке, анод — плос-

кость, параллельная подложке.

Параметры задачи:

$x = x_1$ ,  $(0 < y < y_1)$  – поверхность катода лезвийной формы;

$x_1 = \frac{1}{2} x_2$  - плоскость симметрии задачи;

$y = 0$ ,  $(0 < x < x_2)$  – плоскость, задающая поверхность подложки;

$y = y_2$ ,  $(0 < x < x_2)$  – плоскость, задающая поверхность анода;

$U(0, y) = f_1(y)$ ,  $(0 \leq y \leq y_2)$  - граничные условия на плоскости  $x = 0$ ;

$U(x_2, y) = f_1(y)$ ,  $(0 \leq y \leq y_2)$  - граничные условия на плоскости  $x = x_2$ ;

$U(x_1, y) = 0$ ,  $(0 \leq y \leq y_1)$  - граничные условия на эмиттере;

$U(x, 0) = 0$ ,  $(0 \leq x \leq x_1)$  - граничные условия на подложке эмиттера;

$U(x, y_2) = f_2(y)$ ,  $(0 \leq x \leq x_2)$  - граничные условия на аноде;



## 1.2. Математическая модель диодной системы с полевым эмиттером лезвийной формы

Для нахождения распределения электростатического потенциала  $U(x, y)$  требуется решить уравнение Лапласа:

$$\Delta U = \frac{\partial^2 U}{\partial x^2} + \frac{\partial^2 U}{\partial y^2} = 0. \quad (1)$$

В силу того, что  $x = x_1$  - плоскость симметрии, то достаточно рассмотреть область  $0 \leq x \leq x_1, 0 \leq y \leq y_2$ .

Граничные условия задачи заданы следующим образом:

$$\begin{aligned} U(x, 0) &= 0, \quad 0 \leq x \leq x_1 \\ U(x, y_2) &= f_2(x), \quad 0 \leq x \leq x_1, \\ U(x_1, y) &= 0, \quad 0 \leq y \leq y_1, \\ U(0, y) &= f_1(y), \quad 0 \leq y \leq y_2, \\ \left. \frac{\partial U(x, y)}{\partial x} \right|_{x=x_1} &= 0, \quad y_1 \leq y \leq y_2. \end{aligned} \quad (2)$$

### 1.3. Решение граничной задачи для нахождения распределения потенциала

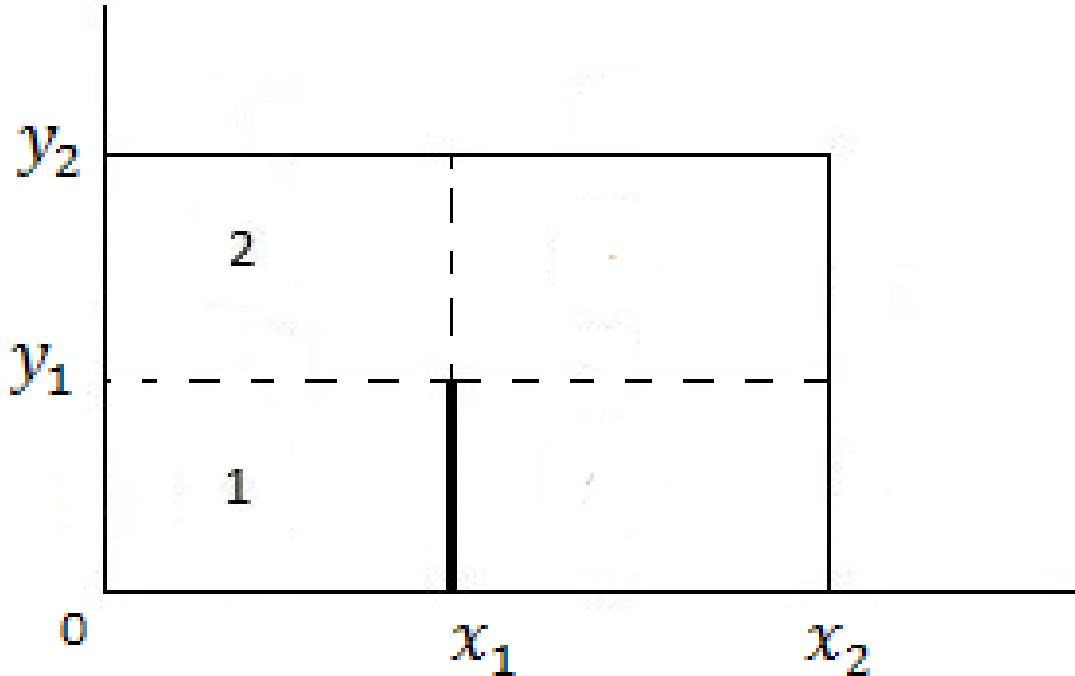


Рис. 2 Схематическое изображение одной ячейки диодной системы с полевым эмиттером лезвийной формы

Для решения граничной задачи (1) – (2) разобьем рассматриваемую область на две части и выпишем соответствующие граничные условия:

Область 1:  $0 \leq x \leq x_1, 0 \leq y \leq y_1$ ;

$$U_1(0, y) = f_1(y), \quad U_1(x, 0) = 0, \quad U_1(x_1, y) = 0.$$

Область 2:  $0 \leq x \leq x_1, y_1 \leq y \leq y_2$ ;

$$U_2(0, y) = f_1(y), \quad \left. \frac{\partial U_2(x, y)}{\partial x} \right|_{x=x_1} = 0, \quad U_2(x, y_2) = f_2(x).$$

Общее решение уравнения Лапласа в соответствии с методом разделения переменных можно записать в виде:

$$U = (Ae^{\lambda x} + Be^{-\lambda x})(C \cos \lambda y + D \cos \lambda y) + (A_1 \cos \beta x + B_1 \sin \beta x)(C_1 e^{\beta x} + D_1 e^{-\beta x}), \quad (3)$$

где  $\lambda$  и  $\beta$  - собственные числа, определяемые из однородных граничных условий.

Пусть

$$U(x, y) = \begin{cases} U_1(x, y), & \text{область 1,} \\ U_2(x, y), & \text{область 2.} \end{cases}$$

После разбиения представленной области на две рассматриваемые части, общее решение (3) имеет вид:

$$U_1(x, y) = \sum_{n=1}^{\infty} a_n \frac{\sinh(\lambda_n(x_1 - x))}{\sinh(\lambda_n x_1)} \sin(\lambda_n y) + \sum_{k=1}^{\infty} b_k \frac{\sinh(\mu_k y)}{\sinh(\mu_k y_1)} \sin(\mu_k x), \quad (4)$$

$$\text{где } \lambda_n = \frac{\pi n}{y_1}, \quad \mu_k = \frac{\pi k}{x_1}, \quad a_n = \frac{2}{y_1} \int_0^{y_1} f_1(y) \sin(\lambda_n y) dy;$$

$$U_2(x, y) = \sum_{l=0}^{\infty} \left( d_l \frac{\sinh(\nu_l(y_2 - y))}{\sinh(\nu_l(y_2 - y_1))} + p_l \frac{\sinh(\nu_l(y - y_1))}{\sinh(\nu_l(y_2 - y_1))} \right) \times \sin(\nu_l x) + \sum_{m=1}^{\infty} c_m \frac{\cosh(\alpha_m(x_1 - x))}{\cosh(\alpha_m x_1)} \sin(\alpha_m(y - y_1)), \quad (5)$$

$$\text{где } p_l = \frac{2}{x_1} \int_0^{x_1} f_2(x) \sin(\nu_l x) dx, \quad \nu_l = \frac{(2l+1)\pi}{2x_1},$$
$$c_m = \frac{2}{y_2 - y_1} \int_{y_1}^{y_2} f_1(y) \sin(\alpha_m(y - y_1)) dy, \quad \alpha_m = \frac{\pi m}{y_2 - y_1}.$$

## 1.4. Вывод системы линейных алгебраических уравнений

Рассмотрим задачу (1) – (2) с описанными выше областями и граничными условиями, тогда решение задачи имеет вид (4), (5). Непрерывность потенциала и производной потенциала по нормали к границе раздела областей (1) – (2) выполняется в силу построенного решения:

$$U_1(x, y_1) = U_2(x, y_1),$$
$$\left. \frac{\partial U_1(x, y)}{\partial y} \right|_{y=y_1} = \left. \frac{\partial U_2(x, y)}{\partial y} \right|_{y=y_1}.$$

Построим алгоритм нахождения неизвестных  $b_k$  и  $d_l$  в общем случае, когда  $f_1(y)$  и  $f_2(x)$  являются функциями от  $y$  и  $x$  соответственно.

1. Выпишем условие непрерывности потенциала на границе:

$$U_1(x, y_1) = U_2(x, y_1).$$

$$U_1(x, y_1) = \sum_{n=1}^{\infty} a_n \frac{\sinh(\lambda_n(x_1 - x))}{\sinh(\lambda_n x_1)} \sin(\lambda_n y_1) + \sum_{k=1}^{\infty} b_k \sin(\mu_k x),$$

\*)  $\sin(\lambda_n y_1) = \sin(\pi n) = 0 \Rightarrow U_1(x, y_1) = \sum_{k=1}^{\infty} b_k \sin(\mu_k x),$

$$U_2(x, y_1) = \sum_{l=0}^{\infty} d_l \sin(\nu_l x).$$

Приравнивая полученные выражения, получи:

$$\sum_{k=1}^{\infty} b_k \sin(\mu_k x) = \sum_{l=0}^{\infty} d_l \sin(\nu_l x), \quad (6)$$

затем умножим полученное равенство на  $\sin(\mu_j x)$  и проинтегрируем обе части на промежутке  $[0, x_1]$ . Получим интегралы в левой и правой части нашего равенства:

$$\int_0^{x_1} \sin(\mu_k x) \sin(\mu_j x) dx = \begin{cases} \frac{x_1}{2}, & \text{при } k = j, \\ 0, & \text{при } k \neq j; \end{cases} \quad (7)$$

$$I_{j,l}^{(1)} = \int_0^{x_1} \sin(\mu_j x) \sin(\nu_l x) dx = \frac{\mu_j (-1)^{j+l}}{\nu_l^2 - \mu_j^2}. \quad (8)$$

Перепишем равенство (6):

$$b_j \frac{x_1}{2} = \sum_{l=0}^{\infty} d_l I_{j,l}^{(1)}. \quad (9)$$

2. Выпишем условие непрерывности производной потенциала на границе:

$$\begin{aligned} \frac{\partial U_1(x, y)}{\partial y} \Big|_{y=y_1} &= \frac{\partial U_2(x, y)}{\partial y} \Big|_{y=y_1}. \\ \frac{\partial U_1(x, y)}{\partial y} \Big|_{y=y_1} &= \sum_{n=1}^{\infty} a_n \lambda_n \frac{\sinh(\lambda_n(x_1 - x))}{\sinh(\lambda_n x_1)} \cos(\lambda_n y_1) + \\ &+ \sum_{k=1}^{\infty} b_k \mu_k \coth(\mu_k y_1) \sin(\mu_k x). \end{aligned}$$

$$*) \quad \cos(\lambda_n y_1) = \cos(\pi n) = (-1)^n \Rightarrow$$

$$\Rightarrow \frac{\partial U_1(x, y)}{\partial y} \Big|_{y=y_1} = \sum_{n=1}^{\infty} (-1)^n a_n \lambda_n \frac{\sinh(\lambda_n(x_1 - x))}{\sinh(\lambda_n x_1)} +$$

$$+ \sum_{k=1}^{\infty} b_k \mu_k \coth(\mu_k y_1) \sin(\mu_k x);$$

$$\frac{\partial U_2(x, y)}{\partial y} \Big|_{y=y_1} = \sum_{l=0}^{\infty} \left( -\nu_l d_l \coth(\nu_l(y_2 - y_1)) + \right.$$

$$\left. + \frac{p_l \nu_l}{\sinh(\nu_l(y_2 - y_1))} \right) \sin(\nu_l x) + \sum_{m=1}^{\infty} c_m \alpha_m \frac{\cosh(\alpha_m(x_1 - x))}{\cosh(\alpha_m x_1)}.$$

В результате, условие непрерывности производной потенциала на границе имеет вид:

$$\sum_{n=1}^{\infty} (-1)^n a_n \lambda_n \frac{\sinh(\lambda_n(x_1 - x))}{\sinh(\lambda_n x_1)} + \sum_{k=1}^{\infty} b_k \mu_k \coth(\mu_k y_1) \sin(\mu_k x) =$$

$$= \sum_{l=0}^{\infty} \left( -\nu_l d_l \coth(\nu_l(y_2 - y_1)) + \frac{p_l \nu_l}{\sinh(\nu_l(y_2 - y_1))} \right) \times$$

$$\times \sin(\nu_l x) + \sum_{m=1}^{\infty} c_m \alpha_m \frac{\cosh(\alpha_m(x_1 - x))}{\cosh(\alpha_m x_1)},$$
(10)

затем умножим полученное равенство на  $\sin(\mu_j x)$  и проинтегрируем обе части на промежутке  $[0, x_1]$ . Получим интегралы в левой и правой части нашего равенства:

$$I_{n,j}^{(2)} = \int_0^{x_1} \sinh(\lambda_n(x_1 - x)) \sin(\mu_j x) dx =$$

$$= \frac{\mu_j}{\lambda_n^2 + \mu_j^2} \sinh(\lambda_n x_1),$$
(11)

$$\begin{aligned}
I_{m,j}^{(3)} &= \int_0^{x_1} \cosh(\alpha_m(x_1 - x)) \sin(\mu_j x) dx = \\
&= \frac{\mu_j}{\alpha_m^2 + \mu_j^2} \left( (-1)^{j+1} + \cosh(\alpha_m x_1) \right).
\end{aligned} \tag{12}$$

Перепишем равенство (10), используя формулы (7-8), (11-12):

$$\begin{aligned}
&\sum_{n=1}^{\infty} \frac{(-1)^n a_n \lambda_n}{\sinh(\lambda_n x_1)} I_{n,j}^{(2)} + \frac{x_1}{2} b_j \mu_j \coth(\mu_j y_1) = \\
&= \sum_{l=0}^{\infty} \left( \frac{p_l \nu_l}{\sinh(\nu_l(y_2 - y_1))} - \nu_l d_l \coth(\nu_l(y_2 - y_1)) \right) I_{j,l}^{(1)} + \\
&+ \sum_{m=1}^{\infty} \frac{c_m \alpha_m}{\cosh(\alpha_m x_1)} I_{m,j}^{(3)}.
\end{aligned} \tag{13}$$

Выразим из (9) переменные  $b_j$  и подставим в (13), получим систему:

$$\left\{ \begin{aligned}
&\sum_{n=1}^{\infty} \frac{(-1)^n a_n \lambda_n}{\sinh(\lambda_n x_1)} I_{n,j}^{(2)} + \mu_j \coth(\mu_j y_1) \sum_{l=0}^{\infty} d_l I_{j,l}^{(1)} = \\
&= \sum_{l=0}^{\infty} \left( \frac{p_l \nu_l}{\sinh(\nu_l(y_2 - y_1))} - \nu_l d_l \coth(\nu_l(y_2 - y_1)) \right) I_{j,l}^{(1)} + \\
&+ \sum_{m=1}^{\infty} \frac{c_m \alpha_m}{\cosh(\alpha_m x_1)} I_{m,j}^{(3)}, \\
&b_j = \frac{2}{x_1} \sum_{l=0}^{\infty} d_l I_{j,l}^{(1)}.
\end{aligned} \right.$$

Преобразуем полученную систему. Перенесем все слагаемые связанные с переменными  $d_l$  влево, а остальные слагаемые



перенесем вправо, приходим к системе:

$$\left\{ \begin{array}{l} \sum_{l=0}^{\infty} d_l I_{j,l}^{(1)} [\mu_j \coth(\mu_j y_1) + \nu_l \coth(\nu_l (y_2 - y_1))] = \\ = \sum_{n=1}^{\infty} \frac{(-1)^{n+1} a_n \lambda_n}{\sinh(\lambda_n x_1)} I_{n,j}^{(2)} + \sum_{l=0}^{\infty} \frac{p_l \nu_l}{\sinh(\nu_l (y_2 - y_1))} I_{j,l}^{(1)} + \\ + \sum_{m=1}^{\infty} \frac{c_m \alpha_m}{\cosh(\alpha_m x_1)} I_{m,j}^{(3)}, \\ b_j = \frac{2}{x_1} \sum_{l=0}^{\infty} d_l I_{j,l}^{(1)}. \end{array} \right. \quad (14)$$

Итак, система (14) представляет собой систему линейных алгебраических уравнений. Решив систему относительно  $d_l$ , найдем коэффициенты  $b_j$ , подставив во второе уравнение (14) вычисленные значения  $d_l$ .

## Глава 2. Моделирование периодической системы эмиттеров лезвийной формы

В силу того, что, как правило, одиночный полевой эмиттер дает очень маленькое значение эмиссионного тока, в реальных системах используются многоэмиттерные катоды. В представленной Главе 2 вычисляется распределение электростатического потенциала во всей области диодной периодической системы на основе полевого катода лезвийной формы и плоского анода (см. Рис. 3).

### 2.1. Физическая модель диодной периодической системы с лезвийным катодом

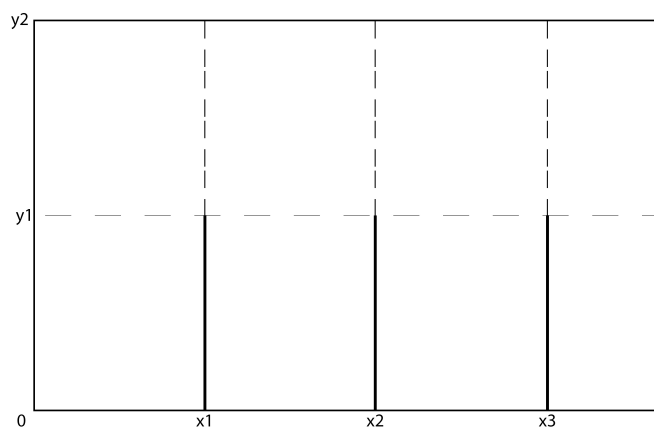


Рис. 3 Схематическое изображение диодной периодической системы с лезвийным катодом

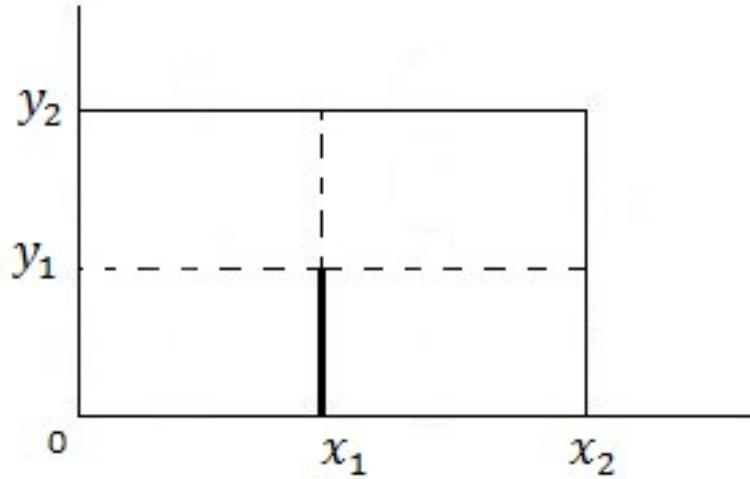


Рис. 4 Схематическое изображение одной ячейки диодной периодической системы с лезвийным катодом

Катод расположен на плоской подложке, анод — плоскость, параллельная подложке.

Параметры задачи:

$x = x_1$ ,  $(0 < y < y_1)$  — поверхность катода лезвийной формы;

$x_1 = \frac{1}{2} x_2$  — плоскость симметрии задачи;

$y = 0$ ,  $(0 < x < x_2)$  — плоскость, задающая поверхность подложки;

$y = y_2$ ,  $(0 < x < x_2)$  — плоскость, задающая поверхность анода;

$\left. \frac{\partial U(x, y)}{\partial x} \right|_{x=0} = 0$ ,  $(0 \leq y \leq y_2)$  — граничные условия на плоскости  $x = 0$ ;

$\left. \frac{\partial U(x, y)}{\partial x} \right|_{x=x_2} = 0$ ,  $(0 \leq y \leq y_2)$  — граничные условия на плоскости  $x = x_2$ ;

$U(x_1, y) = 0, \quad (0 \leq y \leq y_1)$  – граничные условия на эмиттере;

$U(x, 0) = 0, \quad (0 \leq x \leq x_1)$  – граничные условия на подложке эмиттера;

$U(x, y_2) = f_2(y), \quad (0 \leq x \leq x_2)$  – граничные условия на аноде;

## 2.2. Математическая модель диодной периодической системы с лезвийным катодом

Для нахождения распределения электростатического потенциала  $U(x, y)$  требуется решить уравнение Лапласа:

$$\Delta U = \frac{\partial^2 U}{\partial x^2} + \frac{\partial^2 U}{\partial y^2} = 0. \quad (15)$$

В силу симметрии задачи по плоскости  $x = x_1$ , рассмотрим область  $0 \leq x \leq x_1, 0 \leq y \leq y_2$ .

Граничные условия задачи заданы следующим образом:

$$\begin{aligned} U(x, 0) &= 0, \quad 0 \leq x \leq x_1 \\ U(x, y_2) &= U_0(x), \quad 0 \leq x \leq x_1, \\ U(x_1, y) &= 0, \quad 0 \leq y \leq y_1, \\ \left. \frac{\partial U(x, y)}{\partial x} \right|_{x=0} &= 0, \quad y_1 \leq y \leq y_2, \\ \left. \frac{\partial U(x, y)}{\partial x} \right|_{x=x_1} &= 0, \quad y_1 \leq y \leq y_2. \end{aligned} \quad (16)$$

### 2.3. Решение граничной задачи для нахождения распределения потенциала

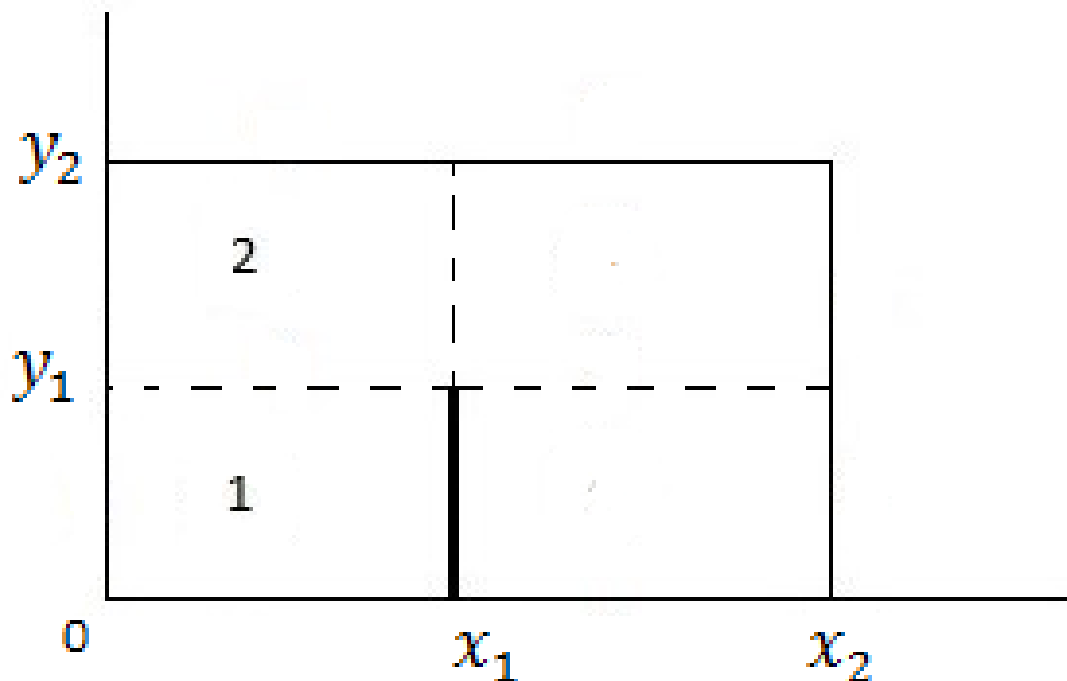


Рис. 5 Схематическое изображение одной ячейки диодной периодической системы с лезвийным катодом

Для решения граничной задачи (15) – (16) разобьем рассматриваемую область на две части и выпишем соответствующие граничные условия:

Область 1:  $0 \leq x \leq x_1, 0 \leq y \leq y_1$ ;

$$U_1(x, 0) = 0, \quad \left. \frac{\partial U_1(x, y)}{\partial x} \right|_{x=0} = 0, \quad U_1(x_1, y) = 0.$$

Область 2:  $0 \leq x \leq x_1, y_1 \leq y \leq y_2$ ;

$$U_2(x, y_2) = U_0(x), \quad \left. \frac{\partial U_2(x, y)}{\partial x} \right|_{x=0} = 0, \quad \left. \frac{\partial U_2(x, y)}{\partial x} \right|_{x=x_1} = 0.$$

Общее решение уравнения Лапласа в соответствии с методом разделения переменных можно записать в виде:

$$U = (Ae^{\lambda x} + Be^{-\lambda x})(C \cos \lambda y + D \cos \lambda y) + (A_1 \cos \beta x + B_1 \sin \beta x)(C_1 e^{\beta x} + D_1 e^{-\beta x}), \quad (17)$$

где  $\lambda$  и  $\beta$  - собственные числа, определяемые из однородных граничных условий.

Пусть

$$U(x, y) = \begin{cases} U_1(x, y), & \text{область 1,} \\ U_2(x, y), & \text{область 2.} \end{cases}$$

После разбиения представленной области на две рассматриваемые части, общее решение (17) имеет вид:

$$U_1(x, y) = \sum_{k=0}^{\infty} a_k \frac{\sinh(\lambda_k y)}{\sinh(\lambda_k y_1)} \cos(\lambda_k x), \quad (18)$$

где  $\lambda_k = \frac{(2k+1)\pi}{2x_1}$ ;

$$U_2(x, y) = b_0 \frac{y_2 - y}{y_2 - y_1} + c_0 \frac{y - y_1}{y_2 - y_1} + \sum_{n=1}^{\infty} \left( b_n \frac{\sinh(\beta_n(y_2 - y))}{\sinh(\beta_n(y_2 - y_1))} + c_n \frac{\sinh(\beta_n(y - y_1))}{\sinh(\beta_n(y_2 - y_1))} \right) \cos(\beta_n x), \quad (19)$$

где  $c_0 = \frac{1}{x_1} \int_0^{x_1} U_0(x) dx$ ,  $c_n = \frac{2}{x_1} \int_0^{x_1} U_0(x) \cos(\beta_n x) dx$ ,  $\beta_n = \frac{\pi n}{x_1}$ .

Функция  $U_0(x)$  (см. граничные условия), имеет вид:

$$U_0(x) = \sum_{n=0}^{\infty} c_n \cos(\beta_n x).$$

## 2.4. Вывод системы линейных алгебраических уравнений

Рассмотрим задачу (15) – (16) с описанными выше областями и граничными условиями, тогда решение задачи имеет вид (18), (19). Непрерывность потенциала и производной потенциала по нормали к границе раздела областей (1) – (2) выполняется в силу построенного решения:

$$U_1(x, y_1) = U_2(x, y_1),$$
$$\left. \frac{\partial U_1(x, y)}{\partial y} \right|_{y=y_1} = \left. \frac{\partial U_2(x, y)}{\partial y} \right|_{y=y_1}.$$

Построим алгоритм нахождения неизвестных  $a_k, b_n$  в общем случае, когда  $U_0(x)$  является функцией от  $x$  и, вообще говоря,  $U_0(x) \neq const$  (если  $U_0(x) = const \Rightarrow c_0 = U_0, c_n = 0, \forall n$ ).

1. Выпишем условие непрерывности потенциала на границе:

$$\sum_{k=0}^{\infty} a_k \cos(\lambda_k x) = b_0 + \sum_{n=1}^{\infty} b_n \cos(\beta_n x) = \sum_{n=0}^{\infty} b_n \cos(\beta_n x),$$

затем умножим полученное равенство на  $\cos(\lambda_i x)$  и проинтегрируем обе части на промежутке  $[0, x_1]$ , получим:

$$\sum_{k=0}^{\infty} a_k \int_0^{x_1} \cos(\lambda_k x) \cos(\lambda_i x) dx = \sum_{n=0}^{\infty} b_n \int_0^{x_1} \cos(\beta_n x) \cos(\lambda_i x) dx.$$



Из условия ортогональности собственных функций следует:

$$\int_0^{x_1} \cos(\lambda_n x) \cos(\lambda_i x) dx = \begin{cases} \frac{x_1}{2}, & \text{при } n = i, \\ 0, & \text{при } n \neq i; \end{cases}$$

равенство примет вид:

$$a_k \frac{x_1}{2} = \sum_{n=0}^{\infty} b_n \int_0^{x_1} \cos(\beta_n x) \cos(\lambda_k x) dx.$$

Вычислим полученный интеграл:

$$\begin{aligned} \int_0^{x_1} \cos(\beta_n x) \cos(\lambda_k x) dx &= \left( \frac{\sin(x(\beta_n - \lambda_k))}{2(\beta_n - \lambda_k)} + \frac{\sin(x(\beta_n + \lambda_k))}{2(\beta_n + \lambda_k)} \right) \Big|_0^{x_1} = \\ &= \frac{\sin(x_1(\beta_n - \lambda_k))}{2(\beta_n - \lambda_k)} + \frac{\sin(x_1(\beta_n + \lambda_k))}{2(\beta_n + \lambda_k)} = \\ &= \frac{(\beta_n + \lambda_k) \sin(x_1(\beta_n - \lambda_k)) + (\beta_n - \lambda_k) \sin(x_1(\beta_n + \lambda_k))}{2(\beta_n^2 - \lambda_k^2)}, \end{aligned}$$

и определим числитель данного выражения:

$$\begin{aligned} &(\beta_n + \lambda_k) \sin(x_1(\beta_n - \lambda_k)) + (\beta_n - \lambda_k) \sin(x_1(\beta_n + \lambda_k)) = \\ &= \beta_n \left( \sin(x_1\beta_n + x_1\lambda_k) + \sin(x_1\beta_n - x_1\lambda_k) \right) - \\ &- \lambda_k \left( \sin(x_1\beta_n + x_1\lambda_k) - \sin(x_1\beta_n - x_1\lambda_k) \right) = \\ &= 2\beta_n \sin(x_1\beta_n) \cos(x_1\lambda_k) - 2\lambda_k \cos(x_1\beta_n) \sin(x_1\lambda_k) = \\ &*) \beta_n = \frac{\pi n}{x_1} : \sin(x_1\beta_n) = \sin(\pi n) = 0; \quad \cos(x_1\beta_n) = (-1)^n; \end{aligned}$$

$$\begin{aligned}
*) \lambda_k &= \frac{(2k+1)\pi}{2x_1} : \sin(x_1 \lambda_k) = (-1)^k; \quad \cos(x_1 \lambda_k) = 0; \\
&= -2\lambda_k (-1)^n (-1)^k = 2\lambda_k (-1)^{n+k+1}.
\end{aligned}$$

Получаем,

$$\int_0^{x_1} \cos(\beta_n x) \cos(\lambda_k x) dx = \frac{\lambda_k (-1)^{n+k+1}}{\beta_n^2 - \lambda_k^2}. \quad (20)$$

Равенство примет вид:

$$a_k = \frac{2}{x_1} \sum_{n=0}^{\infty} b_n \frac{\lambda_k (-1)^{n+k+1}}{\beta_n^2 - \lambda_k^2}$$

2. Выпишем условие непрерывности производной потенциала на границе:

$$\begin{aligned}
\left. \frac{\partial U_1(x, y)}{\partial y} \right|_{y=y_1} &= \left. \frac{\partial U_2(x, y)}{\partial y} \right|_{y=y_1}. \\
\left. \frac{\partial U_1(x, y)}{\partial y} \right|_{y=y_1} &= \sum_{k=0}^{\infty} a_k \lambda_k \coth(\lambda_k y_1) \cos(\lambda_k x), \\
\left. \frac{\partial U_2(x, y)}{\partial y} \right|_{y=y_1} &= \frac{c_0 - b_0}{y_2 - y_1} + \sum_{n=1}^{\infty} \left( -b_n \beta_n \coth(\beta_n (y_2 - y_1)) + \right. \\
&\quad \left. + \frac{c_n \beta_n}{\sinh(\beta_n (y_2 - y_1))} \right) \cos(\beta_n x), \\
\sum_{k=0}^{\infty} a_k \lambda_k \coth(\lambda_k y_1) \cos(\lambda_k x) &= \frac{c_0 - b_0}{y_2 - y_1} + \\
+ \sum_{n=1}^{\infty} \left( -b_n \beta_n \coth(\beta_n (y_2 - y_1)) + \frac{c_n \beta_n}{\sinh(\beta_n (y_2 - y_1))} \right) &\cos(\beta_n x),
\end{aligned}$$

затем умножим полученное равенство на  $\cos(\lambda_i x)$  и проинтегрируем обе части на промежутке  $[0, x_1]$ , получим:

$$\begin{aligned} & \sum_{k=0}^{\infty} a_k \lambda_k \coth(\lambda_k y_1) \int_0^{x_1} \cos(\lambda_k x) \cos(\lambda_i x) dx = \\ & = \frac{1}{y_2 - y_1} \int_0^{x_1} (c_0 - b_0) \cos(\lambda_i x) dx - \\ & - \sum_{n=1}^{\infty} b_n \beta_n \coth(\beta_n (y_2 - y_1)) \int_0^{x_1} \cos(\beta_n x) \cos(\lambda_i x) dx + \\ & + \sum_{n=1}^{\infty} \frac{\beta_n}{\sinh(\beta_n (y_2 - y_1))} \int_0^{x_1} c_n \cos(\beta_n x) \cos(\lambda_i x) dx. \end{aligned}$$

Применяя условие ортогональности собственных функций, формулу (20) и, вычислив интеграл, приходим к равенству:

$$\begin{aligned} & \int_0^{x_1} (c_0 - b_0) \cos(\lambda_k x) dx = \int_0^{x_1} c_0 \cos(\lambda_k x) dx - b_0 \int_0^{x_1} \cos(\lambda_k x) dx = \\ & = \int_0^{x_1} c_0 \cos(\lambda_k x) dx - b_0 \frac{\sin(\lambda_k x_1)}{\lambda_k} = \int_0^{x_1} c_0 \cos(\lambda_k x) dx - \frac{b_0 (-1)^k}{\lambda_k}. \end{aligned}$$

Пусть  $I_{n,k} = \int_0^{x_1} c_n \cos(\beta_n x) \cos(\lambda_k x) dx$ , тогда равенство примет вид:

$$a_k \lambda_k \coth(\lambda_k y_1) \frac{x_1}{2} = \frac{1}{y_2 - y_1} \left( I_{0,k} - \frac{b_0 (-1)^k}{\lambda_k} \right) -$$

$$- \sum_{n=1}^{\infty} \frac{b_n \beta_n \lambda_k (-1)^{n+k+1}}{\beta_n^2 - \lambda_k^2} \coth(\beta_n (y_2 - y_1)) + \sum_{n=1}^{\infty} \frac{\beta_n I_{n,k}}{\sinh(\beta_n (y_2 - y_1))}.$$

Получили систему линейных алгебраических уравнений относительно переменных  $a_k$ ,  $b_n$ :

$$\left\{ \begin{array}{l} a_k \frac{x_1}{2} = \sum_{n=0}^{\infty} b_n \frac{\lambda_k (-1)^{n+k+1}}{\beta_n^2 - \lambda_k^2}, \\ a_k \lambda_k \coth(\lambda_k y_1) \frac{x_1}{2} = \frac{1}{y_2 - y_1} \left( I_{0,k} - \frac{b_0 (-1)^k}{\lambda_k} \right) - \\ - \sum_{n=1}^{\infty} \frac{b_n \beta_n \lambda_k (-1)^{n+k+1}}{\beta_n^2 - \lambda_k^2} \coth(\beta_n (y_2 - y_1)) + \\ + \sum_{n=1}^{\infty} \frac{\beta_n I_{n,k}}{\sinh(\beta_n (y_2 - y_1))}. \end{array} \right. \quad (21)$$

Преобразуем систему (21). Умножим первое уравнение на  $\lambda_k \coth(\lambda_k y_1)$ , затем приравняем правые части полученных равенств:

$$\begin{aligned} \lambda_k \coth(\lambda_k y_1) \sum_{n=0}^{\infty} b_n \frac{\lambda_k (-1)^{n+k+1}}{\beta_n^2 - \lambda_k^2} &= \frac{1}{y_2 - y_1} \left( I_{0,k} - \frac{b_0 (-1)^k}{\lambda_k} \right) - \\ - \sum_{n=1}^{\infty} \frac{b_n \beta_n \lambda_k (-1)^{n+k+1}}{\beta_n^2 - \lambda_k^2} \coth(\beta_n (y_2 - y_1)) &+ \sum_{n=1}^{\infty} \frac{\beta_n I_{n,k}}{\sinh(\beta_n (y_2 - y_1))}; \\ &\coth(\lambda_k y_1) (-1)^k b_0 + \\ + \lambda_k \coth(\lambda_k y_1) \sum_{n=1}^{\infty} b_n \frac{\lambda_k (-1)^{n+k+1}}{\beta_n^2 - \lambda_k^2} &= \frac{1}{y_2 - y_1} \left( I_{0,k} - \frac{b_0 (-1)^k}{\lambda_k} \right) - \\ - \sum_{n=1}^{\infty} \frac{b_n \lambda_k (-1)^{n+k+1}}{\beta_n^2 - \lambda_k^2} \beta_n \coth(\beta_n (y_2 - y_1)) &+ \sum_{n=1}^{\infty} \frac{\beta_n I_{n,k}}{\sinh(\beta_n (y_2 - y_1))}; \end{aligned}$$

$$\begin{aligned}
& \left( \coth(\lambda_k y_1) (-1)^k + \frac{(-1)^k}{\lambda_k (y_2 - y_1)} \right) b_0 + \\
& + \sum_{n=1}^{\infty} b_n \frac{\lambda_k (-1)^{n+k+1}}{\beta_n^2 - \lambda_k^2} \left( \lambda_k \coth(\lambda_k y_1) + \beta_n \coth(\beta_n (y_2 - y_1)) \right) = \\
& = \frac{I_{0,k}}{y_2 - y_1} + \sum_{n=1}^{\infty} \frac{\beta_n I_{n,k}}{\sinh(\beta_n (y_2 - y_1))}; \\
& \left\{ \begin{aligned}
& \left( \coth(\lambda_k y_1) (-1)^k + \frac{(-1)^k}{\lambda_k (y_2 - y_1)} \right) b_0 + \\
& + \sum_{n=1}^{\infty} b_n \frac{\lambda_k (-1)^{n+k+1}}{\beta_n^2 - \lambda_k^2} \left( \lambda_k \coth(\lambda_k y_1) + \right. \\
& \left. + \beta_n \coth(\beta_n (y_2 - y_1)) \right) = \\
& = \frac{I_{0,k}}{y_2 - y_1} + \sum_{n=1}^{\infty} \frac{\beta_n I_{n,k}}{\sinh(\beta_n (y_2 - y_1))}, \\
& a_k = \frac{2}{x_1} \sum_{n=0}^{\infty} b_n \frac{\lambda_k (-1)^{n+k+1}}{\beta_n^2 - \lambda_k^2}.
\end{aligned} \right. \quad (22)
\end{aligned}$$

Итак, система (22) представляет собой систему линейных алгебраических уравнений. Решив систему относительно  $b_n$ , найдем коэффициенты  $a_k$ , подставив во второе уравнение (22) вычисленные значения  $b_n$ .

Рассмотрим случай, когда  $U_0(x) = \text{const} : I_{0,k} = \frac{c_0 (-1)^k}{\lambda_k}$ ,

$I_{n,k} = 0$ . Перепишем систему (22):

$$\left\{ \begin{array}{l} \left( \lambda_k \coth(\lambda_k y_1) + \frac{1}{y_2 - y_1} \right) b_0 \frac{(-1)^k}{\lambda_k} + \\ + \sum_{n=1}^{\infty} b_n \frac{\lambda_k (-1)^{n+k+1}}{\beta_n^2 - \lambda_k^2} \left( \lambda_k \coth(\lambda_k y_1) + \beta_n \coth(\beta_n (y_2 - y_1)) \right) = \\ = \frac{c_0 (-1)^k}{\lambda_k (y_2 - y_1)}, \\ a_k = \frac{2}{x_1} \sum_{n=0}^{\infty} b_n \frac{\lambda_k (-1)^{n+k+1}}{\beta_n^2 - \lambda_k^2}. \end{array} \right.$$

Поделим первое равенство на  $\lambda_k \coth(\lambda_k y_1)$  и умножим на  $(-1)^k$ , получим:

$$\left\{ \begin{array}{l} \left( 1 + \frac{1}{\lambda_k (y_2 - y_1)} \tanh(\lambda_k y_1) \right) \frac{b_0}{\lambda_k} + \\ + \sum_{n=1}^{\infty} b_n \frac{\lambda_k (-1)^{n+1}}{\beta_n^2 - \lambda_k^2} \left( 1 + \frac{\beta_n \coth(\beta_n (y_2 - y_1))}{\lambda_k \coth(\lambda_k y_1)} \right) = \\ = \frac{c_0 \tanh(\lambda_k y_1)}{\lambda_k^2 (y_2 - y_1)}, \\ a_k = \frac{2}{x_1} \sum_{n=0}^{\infty} b_n \frac{\lambda_k (-1)^{n+k+1}}{\beta_n^2 - \lambda_k^2}. \end{array} \right. \quad (23)$$

Схема получения переменных  $a_k$ ,  $b_n$  имеет вид:

$$\{a_k\}, \{b_n\} = \begin{cases} \text{система (22),} & \text{при } U_0 \neq \text{const}, \\ \text{система (23),} & \text{при } U_0 = \text{const}. \end{cases}$$

Условие непрерывности нормальной составляющей вектора напряженности поля на границе раздела областей и ортогональность собственных функций приводят к СЛАУ относи-

тельно неизвестных коэффициентов, входящих в разложения потенциала в виде рядов.

# Глава 3. Численные расчеты периодической системы эмиттеров лезвийной формы

В главе 3 представлены результаты численных расчетов распределения электростатического потенциала для периодической многоэмиттерной системы (гл. 2).

Для численных расчетов, рассмотрим случай, когда  $U_0(x) = const$ . Система имеет вид (относительно  $b_n, a_k$ ):

$$\left\{ \begin{array}{l} \left(1 + \frac{1}{\lambda_k(y_2 - y_1)} \tanh(\lambda_k y_1)\right) \frac{b_0}{\lambda_k} + \\ + \sum_{n=1}^{\infty} b_n \frac{\lambda_k (-1)^{n+1}}{\beta_n^2 - \lambda_k^2} \left(1 + \frac{\beta_n \coth(\beta_n(y_2 - y_1))}{\lambda_k \coth(\lambda_k y_1)}\right) = \\ = \frac{c_0 \tanh(\lambda_k y_1)}{\lambda_k^2 (y_2 - y_1)}, \\ a_k = \frac{2}{x_1} \sum_{n=0}^{\infty} b_n \frac{\lambda_k (-1)^{n+k+1}}{\beta_n^2 - \lambda_k^2}, \end{array} \right.$$

где коэффициенты вычисляются по формулам:

$$\lambda_k = \frac{(2k + 1)\pi}{2x_1}, \quad \beta_n = \frac{\pi n}{x_1}, \quad c_0 = \frac{1}{x_1} \int_0^{x_1} U_0(x) dx.$$

На рисунке 3 представлено распределение электростатического потенциала во всей области одной ячейки периодической системы, при следующих параметрах расчета:

$$x_1 = 1; \quad x_2 = 2; \quad y_1 = 1; \quad y_2 = 2; \quad U_0(x) = 1000; \quad n, k \in [0, 10].$$



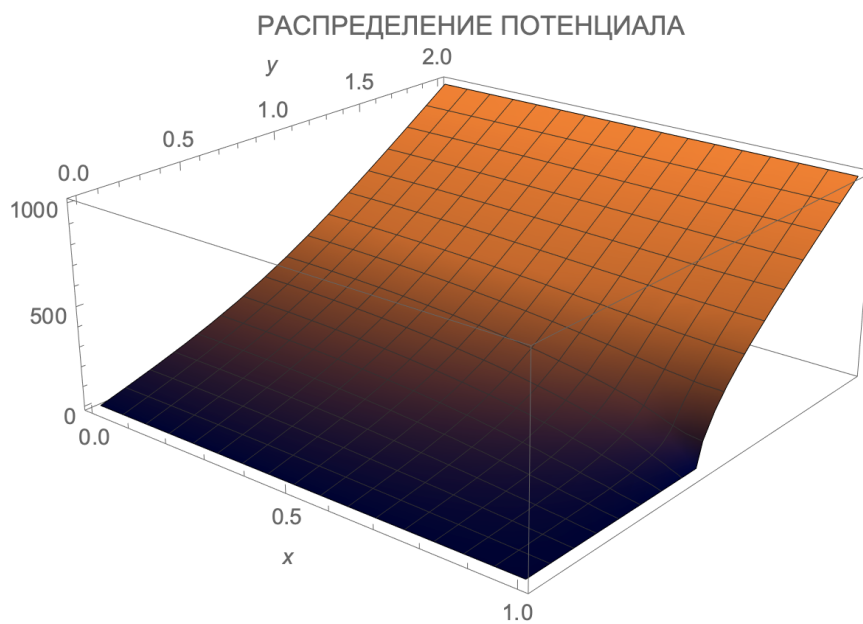


Рис. 3 Распределение электростатического потенциала

На рисунке 4 представлены эквипотенциальные линии в области 1 и области 2 соответственно (при тех же параметрах):

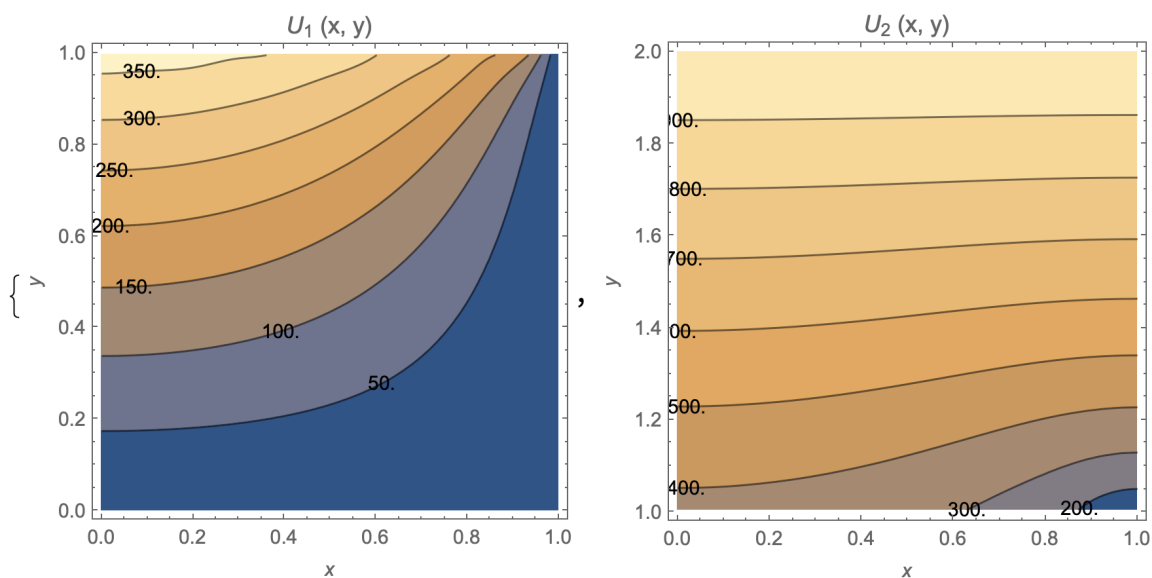


Рис. 4 Эквипотенциальные линии обеих областей

Увеличим точность подсчета, оставив остальные параметры неизменными, то есть варьируем количество  $n$  и  $k$ :

$$x_1 = 1; \quad x_2 = 2; \quad y_1 = 1; \quad y_2 = 2; \quad U_0(x) = 1000; \quad n, k \in [0, 100].$$

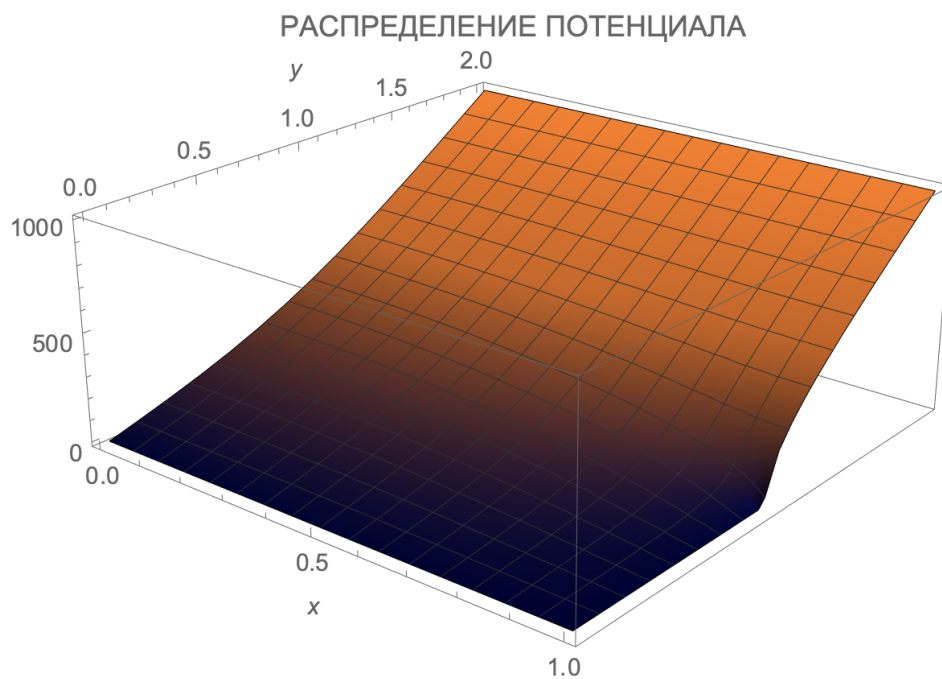


Рис. 5 Распределение электростатического потенциала

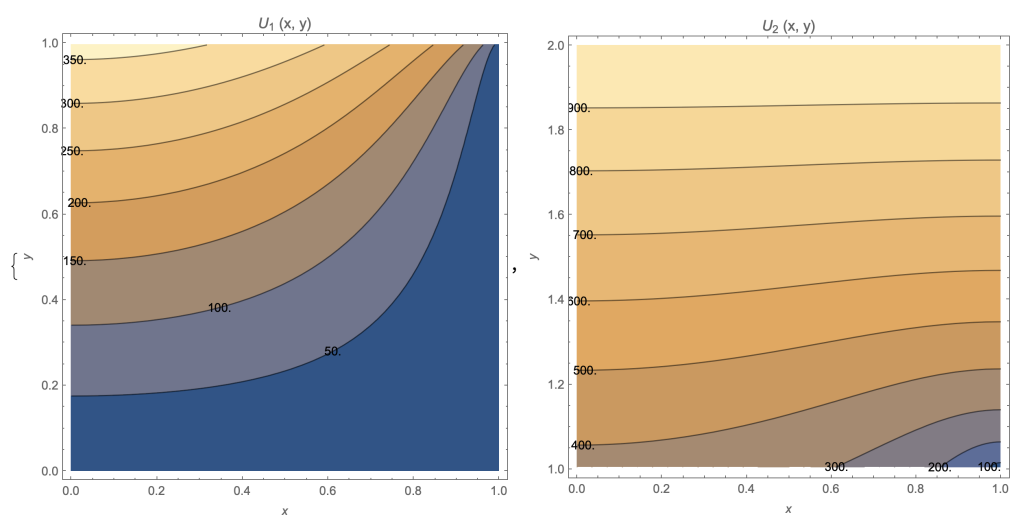


Рис. 6 Эквипотенциальные линии обеих областей

Увеличим значение  $x_1$  и  $x_2$ , при этом не изменяя оставшиеся параметры:

$$x_1 = 25; \quad x_2 = 50; \quad y_1 = 1; \quad y_2 = 2; \quad U_0(x) = 1000; \quad n, k \in [0, 100].$$

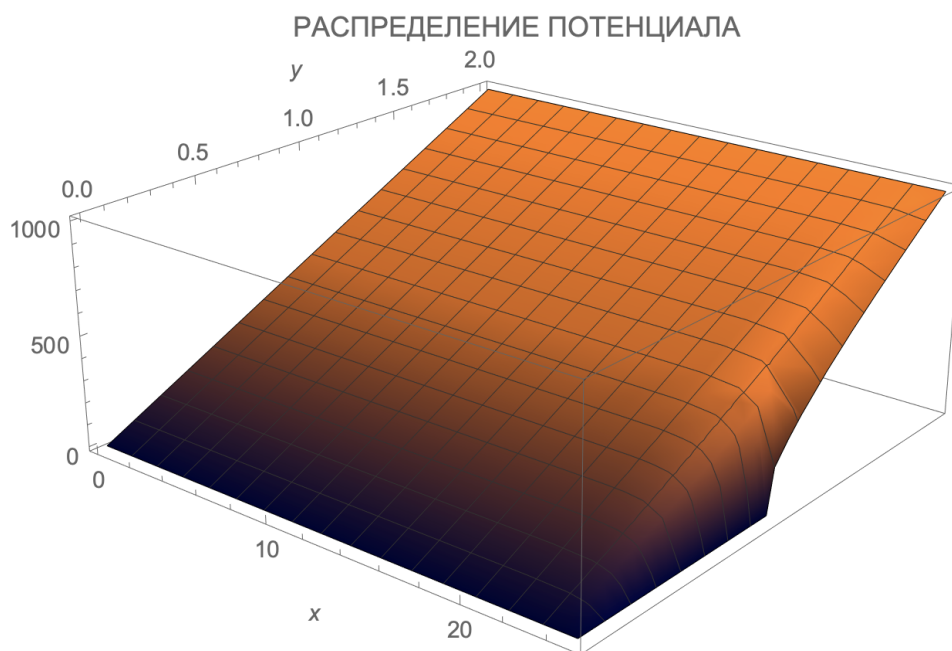


Рис. 7 Распределение электростатического потенциала

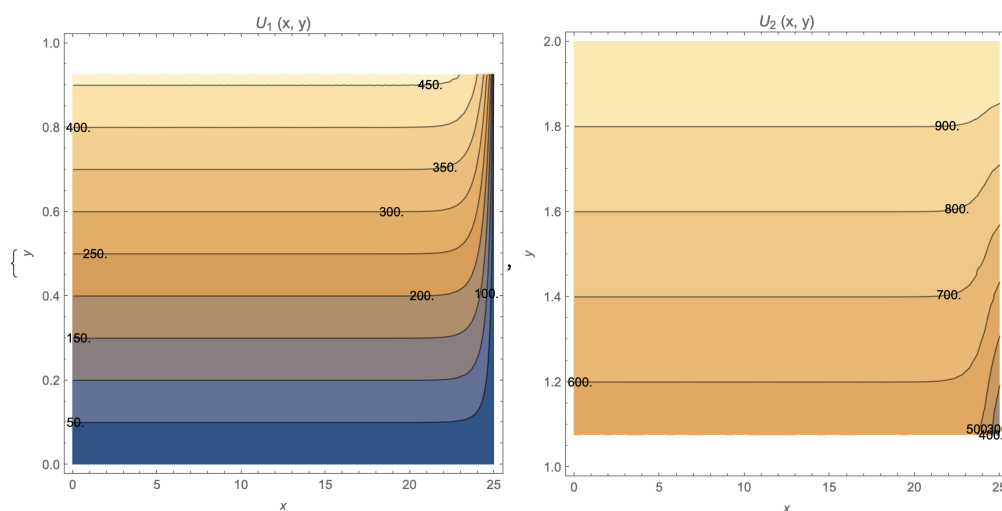


Рис. 8 Эквипотенциальные линии обеих областей

Увеличим значения  $y_1$  и  $y_2$ , при этом не изменяя оставшиеся параметры:

$$x_1 = 1; \quad x_2 = 2; \quad y_1 = 25; \quad y_2 = 50; \quad U_0(x) = 1000; \quad n, k \in [0, 100].$$

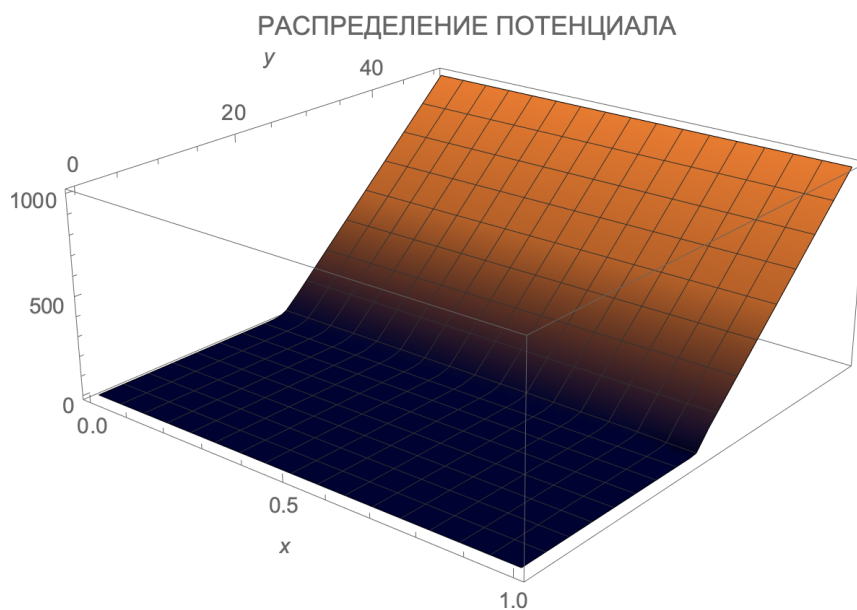


Рис. 9 Распределение электростатического потенциала

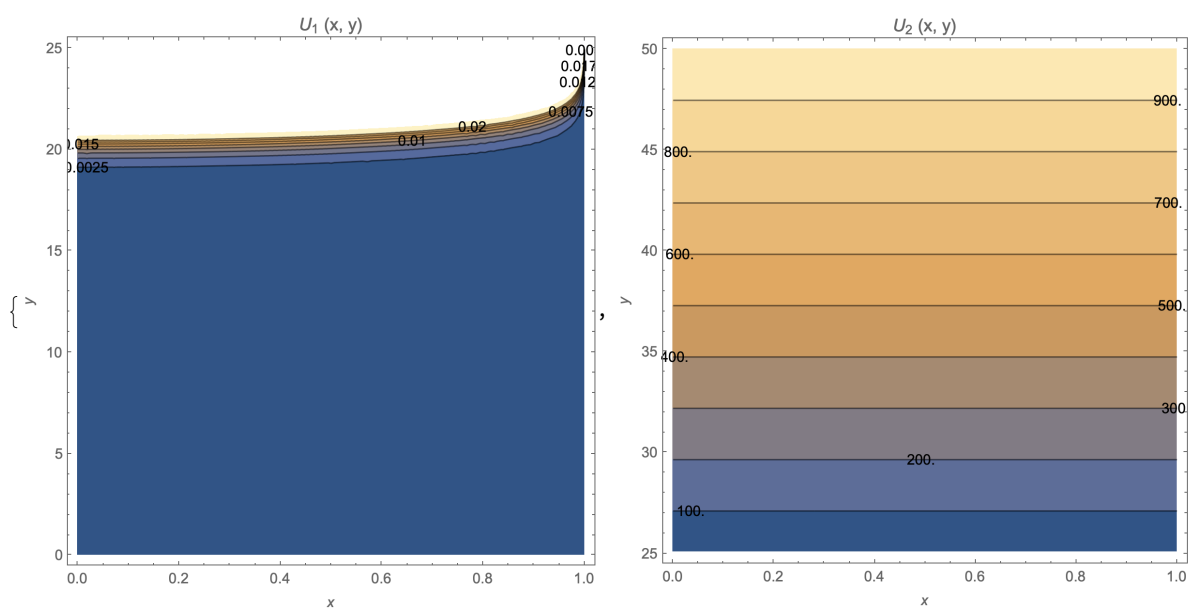


Рис. 10 Эквипотенциальные линии обеих областей

График функции  $U_2(x_1, y)$  :

$$x_1 = 1; \quad x_2 = 2; \quad y_1 = 1; \quad y_2 = 2; \quad U_0(x) = 1000; \quad n, k \in [0, 100].$$

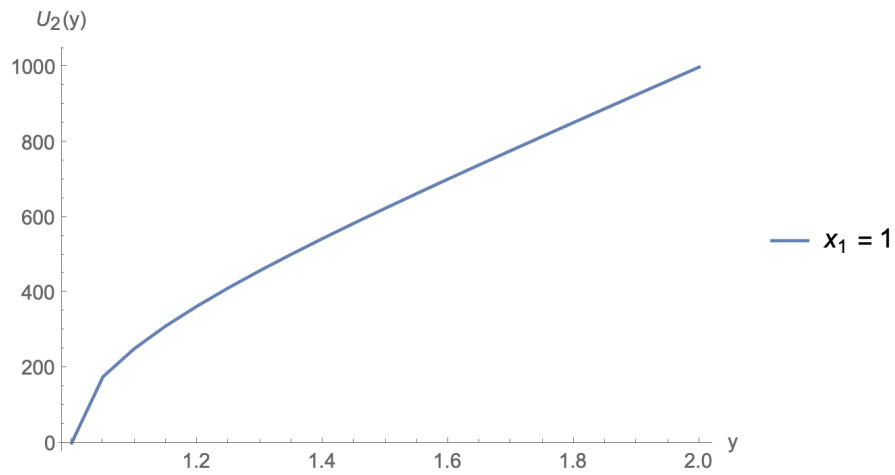
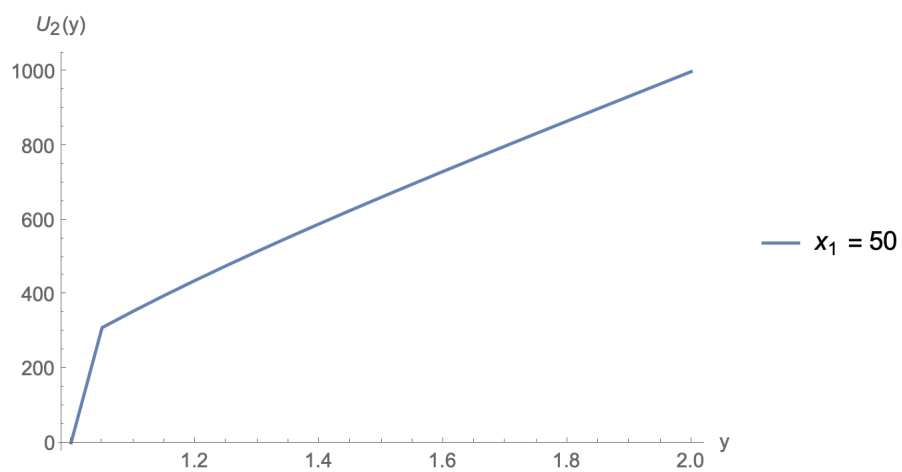


График функции  $U_2(x_1, y)$  :

$$x_1 = 50; \quad x_2 = 100; \quad y_1 = 1; \quad y_2 = 2; \quad U_0(x) = 1000; \quad n, k \in [0, 100].$$



На рисунке 11 представлены графики функции  $U_2(x_1, y)$  при  $x_1 = 1$  и  $x_1 = 50$ , для следующих значений переменной  $y$  :  $y_1 = 1$ ;  $y_2 = 2$ , при  $U_0(x) = 1000$ ;  $n, k \in [0, 100]$ .

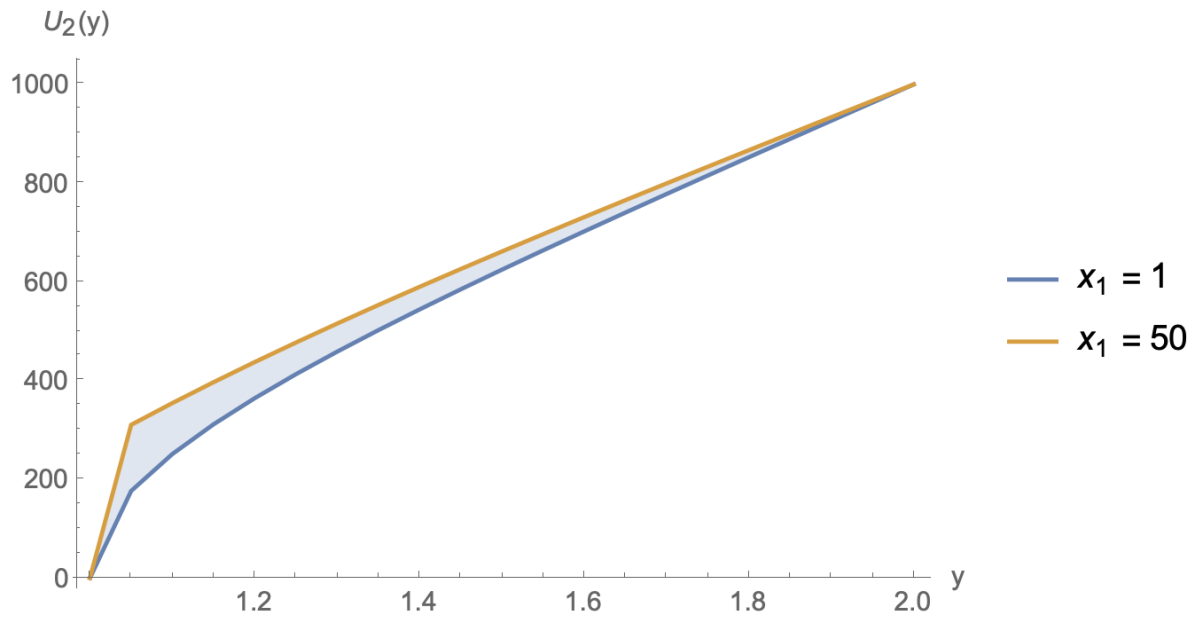


Рис. 11

## Заключение

В главах 1 – 2 представлены: математическая модель одиночной диодной системы с полевым эмитером лезвийной формы (1), (2) и математическая модель периодической системы эмитеров лезвийной формы (15), (16) соответственно. Найдено распределение потенциала в аналитическом виде во всей области рассматриваемой системы в виде рядов по собственным функциям (4) – (5) и (18) – (19) соответственно. Пошагово описан подход к нахождению неизвестных коэффициентов в разложении распределений электростатического потенциала в соответствующих областях, для обоих рассматриваемых задач. Нахождение неизвестных коэффициентов рядов сведено к решению системы линейных алгебраических уравнений с постоянными коэффициентами (14) и (22) соответственно.

В главе 3 рассмотрен частный случай задачи (15) с определенными граничными условиями (16). Реализована программа для вычисления аналитических формул (18) – (19), представленных в главе 2. Программа вычисляет систему линейных алгебраических уравнений, соответственно находит искомые коэффициенты рядов в распределении потенциала и

само распределение потенциала во всей области исследуемой периодической системы эмиттеров лезвийной формы. Представлены численные расчеты и графики распределения электростатического потенциала.



## Список литературы

1. Фурсей Г. Н. Автоэлектронная эмиссия // Соросовский образовательный журнал. 2006. Т. 11. стр. 96 - 103.
2. Виноградова Е.М., Доронин Г.Г., Егоров Н.В., Математическое моделирование двумерной диодной системы с полевым эмиттером лезвийной формы. 2019 (в печати).
3. Виноградова Е. М., Егоров Н. В., Телевный Д.С. Расчет триодной полевой эмиссионной системы с модулятором // Журнал технического физики. 2014. Т. 84 (2). стр. 136.
4. Соминский Г. Г., Тарадаев Е. П., Тумарева Т. А., Мишин М. В., Корнишин С.Ю. Простой в изготовлении многоострый полевой эмиттер // Журнал технического физики. 2015. Т. 85. Вып. 7., стр. 85.
5. Виноградова Е. М., Егоров Н. В., Мутул М. Г., Чэ-Чоу Шень. Расчет электростатического потенциала диодной системы на основе полевого катода с острой кромкой // Журнал технической физики. 2010. Т. 80. Вып. 5. стр. 1-4
6. Телевный Д. С., Виноградова Е. М. Расчет диодной системы на основе полевого эмиттера с диэлектрической под-

- ложкой // Процессы управления и устойчивость. 2014. Т. 1 (17). стр. 224 - 229.
7. Тихонов А. Н., Самарский А. А. Уравнения математической физики. М.: Наука, 1977. 736 с.
  8. Виноградова Е.М., Егоров Н.В., Климаков А.А.. // ЖТФ. 2015. Т.85, N 2. С.20 - 23.
  9. Климаков А. А., Виноградова Е. М. Оптимизация фокусирующей системы полевой пушки с острым катодом // Процессы управления и устойчивость. 2015. Т. 1.
  10. Виноградова Е. М., Егоров Н. В. Математическое моделирование диодной системы на основе полевого эмиттера, Журнал технической физики. 2011. Т. 81. Вып. 9. стр. 1-5.
  11. Елинсон М. И., Васильев Г. Ф. Автоэлектронная эмиссия. М.: Физматлит, 1958. 272 с.
  12. Гусинский Г. М., Баранова Л. А., Найденов В. О. Субмикронный источник свободных электронов // Журнал технической физики. 2015. Т. 85. Вып. 3. С. 129 - 132.
  13. Yunhan Li, Yonghai Sun, J T W Yeow. Nanotube field

electron emission: principles, development, and applications  
// IOPscience. 2015. Vol. 26, No 242001. P. 1 - 23.

14. Давидович М.В., Яфаров Р.К. Автоэмиссионная шахматная структура на основе алмазографитовых кластеров // ЖТФ. 2018. Т. 88, N 2. С. 283 - 293.
15. Егоров Н.В., Антонов А.Ю., Вараюнь М.И. // Поверхность. Рентгеновские, синхротронные и нейтронные исследования. 2018. Т. 10. С. 72 - 79.
16. Листрукова А. В., Виноградова Е. М. Математическое моделирование эмиссионной системы // Процессы управления и устойчивость. 2014. Т. 1 (17). стр. 185 - 190.
17. Устинов Р. Н., Виноградова Е. М. Математическое моделирование электронно-оптической системы с диэлектрической диафрагмой конечной толщины // Процессы управления и устойчивость. 2014. Т. 1 (17). стр. 236 - 241.
18. Banerjee D., Chattopadhyay K. K., Synthesis of crystalline carbon nanofern-like structure by dc-PECVD and study of its electrical and field emission properties // Materials Research Bulletin, Т. 47 (11). стр. 3868 - 3874.